## Ti-6A1-4V航空紧固件热成形温度 对显微组织的影响研究

■ 朱李云,程全士,胡庆宽,许永春,冯德荣

**摘要:** 通过采用红外线测温仪,对Ti-6Al-4V紧固件热成形加热温度与显微组织的关系研究,明确了热加工参数,优化了热成形加工工艺,保证了产品的质量与生产进度。

关键词:紧固件;显微组织;热成形

Ti-6Al-4V钛合金是一种中等 强度的 α + β 型两相钛合金,与 国内TC4材料相近,含有6%的 α 相稳定元素Al和4%的 β 相稳定 元素V。该合金具有优异的综合 性能,在航空和航天领域获得了 广泛应用,长时间工作温度可达 400℃,在航空工业中主要用于 制造发动机的风扇、压力机盘与 叶片,以及飞机结构中的梁、接 头、隔框和紧固件等重要的承力 构件。

为了保证紧固件良好的疲劳、持久等力学性能,头部常采用镦制成形。而Ti-6Al-4V在室温下的退火态组织为大量的α(hcp)相+少量的β(bcc)相,由于α相的冷变形能力要比β相差,因此钛合金导热性差,如果采取冷镦成形,易产生折叠、裂纹,内部空洞及绝热剪切带等缺陷,所以Ti-6Al-4V往往采取头部热镦成形。在实际生产过程中,为了保证产品进度,常采用加热效率高、生产速度快的高频感应加热方式进行升温。在

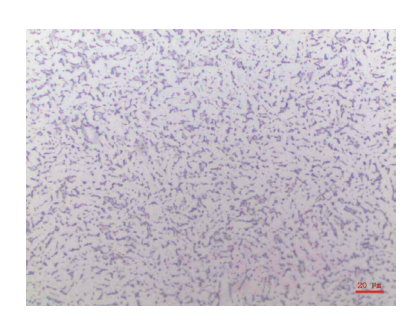
应变速率不变的情况下,提高成 形温度,有利于材料的塑性变 形。但高频感应加热速度快,温 度难以控制,易造成产品过热。

## 1. 原材料验证

为保证Ti-6Al-4V钛合金紧固件热成形质量,有效控制其加热温度及保温时间,现选取不同加热参数,通过对显微组织观察,判断热加工参数设置的合理性。

为保证试验结果的准确性, 选取进口的Ti-6A1-4V钛合金材料,其显微组织如图1所示。

其中,图1a为Ti-6Al-4V原材料横向显微组织形貌,图1b为纵向显微组织形貌特征。可看出:



(a) 横向组织 (200×)

其显微组织形态为等轴组织,在 等轴的  $\alpha$  相基体上,分布着细小 的  $\beta$  相。该材料组织均匀,未见 明显冶金缺陷,为典型的  $\alpha$  +  $\beta$ 双相钛合金。

为验证加热参数对原材料显微组织的影响,将该Ti-6A1-4V原材料用高频感应加热,加热至1000℃高于其相变点以上,保温15s,观察显微组织。

图2为1000℃,保温15s的原材料显微组织特征。可以看出:在200×下,组织粗大,晶粒明显,晶粒内部有网状组织,未发现细小的β相存在;图2a与图2b具有类似的组织结构,晶粒基本上成等轴状,魏氏组织形貌。



(b) 纵向组织 (200×)

图1 Ti-6Al-4V原材料显微组织

由于Ti-6Al-4V中铝含量相对 较低,所以其增加点阵的扭曲程 度,阻止原子再结晶过程中的定 向移动并延迟晶粒长大的能力较 弱。因此当加热温度高于相变温 度后,原细小的等轴双相组织晶 粒逐渐长大,原晶界处存在的细 小β相也溶入了α相基体当中, 随着温度的降低,在晶粒内析出 网状的魏氏组织。

Ti-6Al-4V原材料为退火态, 其组织为平衡态组织。在加热及 保温过程中,没有产生再结晶, 随着加热温度的升高及保温时 间的延长,其原子达到了扩散激 活能,晶粒长大的驱动力来源于 晶界迁移后体系总的自由能的降 低。温度是影响晶粒长大的主要 因素,而晶界的迁移与原子的扩 散有关,扩散系数越大,晶界越 容易迁移,即晶粒越容易长大。

通过对Ti-6Al-4V原材料高频 感应加热至1000℃,保温15s, 晶粒明显长大且成等轴状,并产 生了魏氏组织。

## 2. 产品镦制加热参数验证

为了验证Ti-6A1-4V钛合金 紧固件在热镦时,是否出现过 热现象,又对原材料进行了头部 成形试验,其加热参数为温度 1000℃、940℃,保温时间均为 15s,其显微组织如图3所示。

图3为不同加热温度下的Ti-6A1-4V钛合金紧固件显微组织特征,从中可看出:图3a原材料经1000℃保温15s后,经压力机镦制成形后,晶粒长大,成等轴的六边形形状,组织分布较为均匀;图3b为杆部显微组织,晶粒从表层到内部依次减小,由于

高频感应加热为瞬时加热,保温时间较短,材料仅表层获得了大量的能量,达到了原子的扩散激活能,使表层晶粒迅速长大,而材料内部仍保持原材料组织状态。加热镦制时,产生了动态再



(a) 横向组织(100×)

结晶,且由于动态再结晶的晶核 形成及晶粒长大期间仍受变形作 用,使之反复形核、有限生长的 特点,动态再结晶得到等轴晶粒 组织,晶粒较为细小,晶粒大小 决定于应变速率和变形温度。变



(b) 纵向组织 (200×)

图2 原材料过热组织



(a) 头、杆结合处显微组织(200×)



(b) 杆部显微组织(100×)



(c) 头、杆结合处显微组织(100×)



(d) 头部非支撑面处显微组织(100×)



(e) 头部非支撑面处显微组织(100×)



(f) 头部非支撑面处显微组织(500×)

图3 不同温度处理的Ti-6Al-4V显微组织

形温度越高,应变速率越低,也 越易得到较大的晶粒。

图 3 c 为 高 频 感 应 加 热 940℃、保温15s的显微组织、从 中可看出:晶粒较1000℃时明 显减小, 晶粒破碎, 刚形核的晶 粒还没有完全长大就失去了长大 的驱动力;图3d为螺栓头部上端 面的显微组织形貌特征, 从图中 可看到在裂纹两边,显微组织完 全不同, 裂纹左边为过热组织, 较为粗大,裂纹右边为细密、破 碎的显微组织。在塑性变形时, 对于β相来说,属于体心立方结 构,有48个滑移系;而α相为密 排六方结构,只有3个滑移系。 在受力时,体心立方结构的β相 比密排六方结构的 α 相变形要容 易的多, 在受力时, 滑移面的夹 角与外力轴线的夹角越来越接近 45°,并且在粗晶粒和细晶粒之 间形成的内应力共同作用,导致 了沿45°角开裂现象。

图3e为产品在成品检测时发现的过热现象。从图中可看出:晶粒粗大,基体上无初生的 α相,晶内出现明显的魏氏组织,为典型的Ti-6A1-4V过热组织;图3f为图3e的放大500×,从中可看出:组织粗大,成网状的魏氏组织;图3e与图3f为热镦过热产品,又经940℃固溶与520℃时效处理之后的显微组织。过热组织在后续的热处理过程中很难纠正。产品一经交付将对产品的力学性能产生较大影响。

为找到合适的温度和保温时间,使Ti-6A1-4V原材料热镦成形时不产生过热现象,既节约资源,又保证生产效率,又进行了

一系列的验证,当加热温度降低 至890℃时,观察产品经镦制成 形后的组织形貌。

图4为在固溶温度940℃以下、加热温度为890℃、850℃的不同显微组织。图4a和图4b为加热温度为890℃下的杆部与头、杆结合处的组织特征,从中可以看出:其显微组织与图1所示的原材料相差不大,图4c与图4d为加热温度为850℃下杆部与头、



(a) 杆部显微组织(200×)

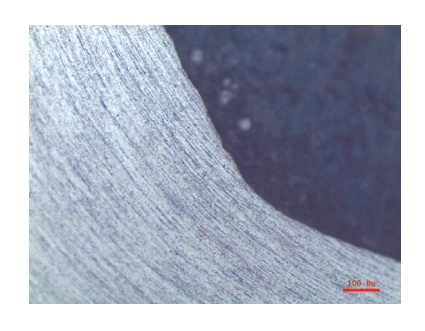


(c) 杆部显微组织(200×)

杆结合处的组织特征,其显微组织比图1中所示的原材料更为细小。在动态再结晶过程中,由于加热温度不高,新形核的晶粒还没有来得及长大就失去了长大所需的驱动力,造成晶粒细小。细小的晶粒在后续的热处理过程中将逐步长大,由于加热温度的限制,其长大的程度也受到很大的限制,形成更好力学性能的显微组织。



(b) 头、杆结合处显微组织(200×)



(d) 头、杆结合处显微组织(200×)

图4 不同加热温度下的显微组织

## 3. 结语

通过对Ti-6Al-4V紧固件热 镦加工参数对显微组织影响的研究,在1000℃、940℃下加热与 保持较长时间,易产生显微组织 过热、晶粒长大及形成魏氏组织 等缺陷,在890℃、850℃下镦 制,产品均未出现过热现象,无 折叠、裂纹等缺陷产生,850℃ 下镦制更能提高生产效率,节约 资源。后期热处理及试验证明, 在该温度下加工的产品,经固溶、时效处理后,产品的抗拉强度、抗剪强度、疲劳强度、金相等均符合相关产品标准要求,保证了产品质量的一致性。

作者简介:朱李云,空军驻 郑州某军代室;程全士、胡庆 宽、许永春、冯德荣,河南航天 精工制造有限公司。

MW 20160918